

## مقاله پژوهشی

## بررسی عوامل موثر بر سختی درمان ارتودنسی کائین نهفته ماگزیلا با کمک تصاویر Cone Beam Computed Tomography

دکتر امیرفرهنگ میراسماعیلی\*، دکتر نسرین فرهادیان\*، دکتر وحید ملاباشی\*\*، دکتر عباس مقیم بیگی\*\*\*  
دکتر فائزه یوسفی\*\*\*\*

دریافت: ۹۱/۱/۱۶، پذیرش: ۹۱/۴/۱۳

### چکیده:

**مقدمه و هدف:** دندان های کائین ماگزیلا نقش مهمی در زیبایی و فانکشن دارند. درمان بیماران با کائین نهفته ماگزیلا نسبت به سایر بیماران ارتودنسی دشوارتر بوده و نیاز به صرف زمان بیشتری دارد. هدف از این مطالعه تعیین شاخص دشواری درمان ارتودنسی دندان کائین نهفته ماگزیلا در توموگرافی کامپیوترا با اشعه مخروطی (CBCT) بر اساس نظر متخصصین ارتودنسی می باشد.

**روش کار:** در این مطالعه مقطعی، نه فاکتور موثر بر سختی درمان در CBCT ۳۶ بیمار با ۵۰ کائین نهفته با استفاده از برنامه Dolphin 3D اندازه گیری شد. نه تصویر به دست آمده از بیماران به همراه اندازه گیری های انجام شده بر روی وب سایت طراحی شده به این منظور قرار داده شد. از ۱۰ ارتودنتیست خواسته شد که سختی رویش کائین نهفته را از ۱ تا ۱۰ درجه بندی کنند. همچنین از آنها خواسته شد که میزان تاثیر هر یک از متغیر ها در درمان را نیز از ۱ تا ۵ ارزیابی کنند. رگرسیون خطی با اثرات تصادفی در مرحله اکتشافی و رگرسیون خطی ساده در مرحله ایجاد مدل مورد استفاده قرار گرفت.

**نتایج:** میانگین سن بیماران  $19 \pm 5$  سال و میانگین تجربه کلینیکی متخصصین  $22 \pm 12$  سال بود. سه متغیر در مرحله اکتشافی و ۲ متغیر در مرحله ایجاد مدل حذف شدند. فاصله عمودی تا پلن اکلوزال ( $P=0.000$ )، همپوشانی در نمای فرونتال ( $P=0.000$ ، زاویه با پلن اکلوزال ( $P=0.029$ ) و چرخش ( $P=0.000$ ) رابطه معنی داری با شاخص دشواری درمان داشتند.

**نتیجه نهایی:** سختی درمان کائین نهفته ماگزیلا می تواند به صورت کمی با اندازه گیری متغیر ها از روی تصاویر CBCT اندازه گیری شود.

### کلید واژه ها: ارتودنسی / توموگرافی کامپیوترا با اشعه مخروطی / دندان های نیش

**تعیین دقیق موقعیت کائین نهفته با استفاده از رادیوگرافی های معمول به دلیل دیستورشن تصویر، سوپرایمپوز شدن ساختارهای سه بعدی، آرتیفکت های تصویر، خطاهای تصویربرداری و نیز گاهی اوقات کیفیت پایین تصاویر بسیار بحث برانگیز است(۷). اخیراً با استفاده از سیستم های تصویربرداری سه بعدی (CBCT) امکان تعیین دقیق موقعیت کائین نهفته با توجه به**

**مقدمه :** به استثناء مولرهای سوم، دندان های کائین ماگزیلا با میزان شیوع  $3-8\%$  درصد، بالاترین میزان نهفتگی را به خود اختصاص می دهند (۱-۳). دندان های کائین ماگزیلا نقش مهمی در زیبایی و فانکشن دارند و درمان بیماران با کائین نهفته ماگزیلا نسبت به سایر بیماران ارتودنسی دشوارتر بوده و نیاز به صرف زمان بیشتری دارد (۴).

\* دانشیار گروه ارتودنسی دانشکده دندانپزشکی دانشگاه علوم پزشکی همدان

\*\* دستیار گروه ارتودنسی دانشکده دندانپزشکی دانشگاه علوم پزشکی همدان (vahidmolabashi@yahoo.com)

\*\*\* استادیار گروه آمار و اپیدمیولوژی دانشکده بهداشت دانشگاه علوم پزشکی همدان

\*\*\*\* دستیار گروه رادیولوژی دهان و دندان دانشکده دندانپزشکی دانشگاه علوم پزشکی همدان

میزان دشواری درمان دندان کائین نهفته ماگزیلا با استفاده از نحوه تفکر ارتوپدنیست های مجرب با کمک اطلاعات حاصل از تصویربرداری CBCT است.

### روش کار:

در این مطالعه مقطعی ابتدا ۱۰ فاکتور موثر بر سختی درمان کائین نهفته و رتبه بندی آنها از میان مطالعات مختلف استخراج گردیدند(۱۹، ۱۵-۱۶، ۸، ۲) سپس نه فاکتور در تصاویر CBCT هر بیمار اندازه گیری شدند و این ۹ فاکتور(هر یک از این فاکتورها براساس ماهیت و اهمیت خود که آن نیز حاصل بررسی می باشد، مقیاس اندازه گیری و محدوده جداگانه ای دارند) به همراه سن در جدول مربوط (Objective Measurement; OM) به هر بیمار به عنوان (OM) ثبت گردید (جدول ۱).

جدول ۱: مقیاس و درجه بندی متغیرها جهت ارزیابی سختی کائین نهفته

مقیاس	شماره متغیر	سن
سال		۱
.	هموشانی و موقعیت افقی	۲
۱	موقعیت نرمال	
۲	به سمت لترال	
۳	در نیمه دیستالی لترال	
۴	در نیمه مزیالی لترال	
۵	در نیمه دیستالی سانترال	
	در نیمه مزیالی سانترال	
	جابجایی با لترال یا پره مولر اول ماگزیلا	۳
.	خیر	
۱	بله	
	فاصله عمودی بین نوک کائین تا پلن اکلوزال فانکشنال میلیمتر	۴
	موقعیت اپکس	۵
.	موقعیت نرمال	
۱	به سمت پره مولر اول	
۲	نیمه مزیالی پره مولر اول	
۳	نیمه دیستالی پره مولر اول	
۴	نیمه مزیالی پره مولر دوم	
۵	نیمه دیستالی پره مولر دوم	
درجه	زاویه کائین نسبت به پلن اکلوزال فانکشنال	۶
	Dilaceration	۷
.	خیر	
۱	بله	
میلیمتر	تحلیل ریشه	۸
.	بیشترین تعقر در محدوده ریشه در نمای اگزیال	۹
۱	موقعیت باکوپالاتال	
۲	وسط استخوان آلوئولار	
.	باکال	
۱	پالاتال	
۲	چرخش	۱۰
.	خیر	
۱	بله	

موقعیت فضایی آن با کنتراست بافتی عالی فراهم شده است.(۶).

متغیرهای بسیاری در پیش بینی میزان دشواری درمان دندان کائین نهفته ماگزیلا و نیز احتمال شکست آن دخیل اند(۸) در مطالعه ای که فلمینگ انجام داد زاویه کائین، فاصله عمودی تا پلن اکلوزال، موقعیت قدامی خلفی اپکس ریشه و میزان اورلپ اینسایزورهای مجاور با پروگنوز کائین های اکتوپیک در ارتباط بود(۲). زوکاتی و همکاران ارتباط قوی را بین افزایش تعداد دفعات ملاقات ارتوپدنی و افزایش سن، ارتفاع عمودی و جابجایی مزیالی نوک کاسپ گزارش کردند(۸). طبق یافته های پیت کائین هایی که زاویه افقی تری دارند، دارای پروگنوز مرتب کردن (alignment) ضعیف تری هستند، موقعیت باکوپالاتالی تاج کائین نیز بر نحوه درمان آن موثر است. گزارش شده است که هرچه قدر موقعیت کائین نسبت به پلن اکلوزال بالاتر باشد، پروگنوز مرتب کردن آن ضعیف تر است(۹) مک شری این یافته را به صورت

“The vertical rule of thirds” تحلیل ریشه دندان اینسایزور لترال شایع ترین عارضه مرتبط با دندان کائین نهفته ماگزیلا است(۱۱) مطالعات قبلی نشان داده اند که تحلیل ریشه کمتر از ۰/۶ میلی متر در قطر و کمتر از ۰/۳ میلی متر در عمق را نمی توان در رادیوگرافی های معمول ارزیابی کرد(۱۲،۱۳) الگاربان دریافت که در تشخیص میزان تحلیل ریشه در درجات خفیف و شدید، تصویربرداری CBCT بسیار بهتر از رادیوگرافی پانورامیک است(۱۴).

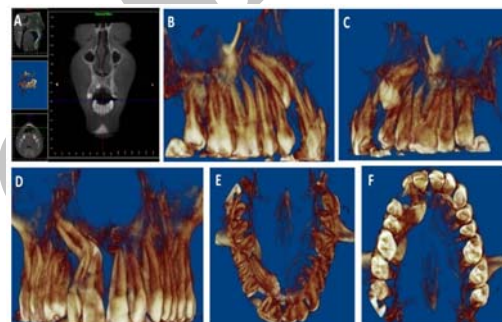
درمان دندان های نهفته در بالغین دشوارتر است(۱۵) در یک مطالعه نشان داده شده که میزان موفقیت درمان در بیماران بالای ۳۰ سال ۴۱ درصد بوده، در حالی که در بیماران ۲۰ تا ۳۰ سال میزان موفقیت ۱۰۰ درصد بود(۸). تا به امروز پیش بینی میزان موفقیت درمان دندان های کائین نهفته بطور عمدہ بر پایه تجربه کلینیکی فرد بوده است و اکثر مطالعات صورت گرفته، به مقایسه میان تصاویر CBCT و رادیوگرافی های معمول پرداخته اند و تخمینی از میزان دشواری درمان ارائه نداده اند(۹) به همین دلیل ارائه سیستمی توسعه یافته برای ارزیابی دشواری مرتب کردن یک دندان کائین نهفته می تواند هم برای کلینیسین ها و هم برای بیمار بسیار با ارزش باشد. در مطالعه حاضر هدف ایجاد روشی کمی در طبقه بندهی

این تصاویر و اندازه گیری های انجام شده برای هر بیمار در وب سایت جایگذاری شدند (www.canineimpaction.com). از ده ارتودنتیست (شش ارتودنتیست از ایران، دو نفر از ایتالیا، یک نفر از فرانسه و یک نفر هم از امریکا) با حداقل ۱۰ سال سابقه کار کلینیکی و متوسط تجربه کاری  $12.02 \pm 22.7$  سال درخواست شد تا رادیوگرافی های مربوط به ۵۰ دندان کائنین نهفته مانند مگزیلا را ارزیابی کنند. برای هر بررسی کننده یک نام کاربری و رمز اختصاص داده شد تا به سایت وارد شده و به پرسشنامه پاسخ دهن. پس از بررسی اطلاعات مربوط به هر بیمار از بررسی کننده درخواست شد تا یک درجه بندی کلی را برای تعیین میزان سختی مرتب کردن کائنین نهفته پیشنهاد دهد. برای این کار از مقیاس رتبه بندی ۱-۱۰ استفاده شد که در آن ۱ بسیار ساده و ۱۰ بسیار مشکل در نظر گرفته شد و به آن شد. در ادامه از بررسی کنندگان خواسته شد تا میزان اثر ۱۰ فاکتور را در درمان، با نمره دهی آن ها از ۱-۵ (۱=بسیار پایین ۲=پایین ۳=متوسط ۴=بالا و ۵=بسیار بالا) ارزیابی کنند، این متغیر (Variable Grading; VG) نامیده شد.

از نرم افزار 20 SPSS و 11 Stata برای آنالیز داده ها استفاده شد و داده ها در ۲ مرحله آنالیز شدند. در مرحله اول (مرحله اکتشافی اولیه) از رگرسیون خطی با اثرات تصادفی (random effect linear regression) برای به دست آوردن مهمترین متغیرهای تعیین شده توسط ۱۰ بررسی کننده استفاده شد، در این مرحله VG به عنوان متغیر مستقل و STDD به عنوان متغیر وابسته در نظر گرفته شد و معادله نهایی توسط 11 Stata محاسبه گردید. در مرحله دوم از رگرسیون خطی ساده (simple linear regression) برای ایجاد مدل استفاده شد، در این مرحله OM به عنوان متغیر مستقل و STDD به عنوان متغیر وابسته در نظر گرفته شد.

از ثبات درونی (Intra Class Correlation) برای تعیین پایایی درون مشاهده گران (intra observer reliability) و پایایی بین مشاهده گران (inter observer reliability) استفاده شد که در آن ۲ بررسی کننده ۲۰ دندان نهفته را که به صورت اتفاقی انتخاب شده بودند، ۲ بار به فاصله ۱۰ روز اندازه گیری نمودند.

۳۶ بیمار با ۵۰ دندان نهفته مانند مگزیلا که به بخش ارتودنسی دانشکده دندان پزشکی مراجعه کرده بودند، انتخاب شدند. این گروه از بین بیمارانی انتخاب شدند که CBCT به دلیل موقعیت نابجای کائنین نیاز به تصویربرداری با داشتند. معیارهای خروج از مطالعه شامل آنومالی های کرانیو فاسیال و استفاده از اپلاینس های ارتودنسی بود. NewTom QR-DVT9000 CBCT تمام بیماران با دستگاه CBCT و با ۱۲ Field of View(FOV) اینچ تهیه شد. اطلاعات ۳D بیماران به برنامه Dolphin منتقل گردید و با نرم افزار D طراحی شده برای آنالیز داده های CBCT مورد بررسی قرار گرفت. ابتدا موقعیت سه بعدی سر تنظیم شد سپس با استفاده از ابزار transparency دندانهای نهفته به راحتی قابل مشاهده شدند. ۹ نما استخراج گردید: ۵ نمای سه بعدی که شامل فرونتال، چپ، راست، بالا و پایین بود(تصویر ۱).



تصویر ۱: تصاویر سه بعدی دندان کائنین نهفته

(A) فایل CBCT هر بیمار که در نرم افزار Dolphin وارد شده است (B) تا نماهای مختلف دندان نهفته از آن استخراج گردد (C) نمای راست (D) نمای چپ (E) نمای بالا (F) نمای پایین ۴ نمای دو بعدی شامل فرونتال، سازیتال، نمای اگزیالی که نوک کائنین نزدیک ریشه اینسایزور باشد و نمای اگزیالی که در آن height of contour دندان قرار داشته باشد(تصویر ۲).



تصویر ۲: تصاویر دو بعدی دندان کائنین نهفته

(A) نمای روبرو (B) نمای سازیتال (C) نمای اگزیال دارای حداکثر تحلیل ریشه اینسایزور (D) نمای اگزیال در محل حداکثر قطر تاج دندان نهفته

ترکیب ۷ متغیر دیگر بر اساس معادله زیر ارتباط معنی داری با (Total Degree of Difficulty) TDD داشت.

$$TDD = \text{اولپ}^{+0.33} \times \text{موقعیت اپکس}^{+0.59} + \text{Dilaceration}^{+0.54} \times \text{موقعیت عمودی}^{+0.24}$$

$$\text{چرخش}^{+0.22} \times \text{زاویه}^{+0.34} \times \text{باکوپالاتال}^{-0.21}$$

همبستگی بین داده های استخراج شده از این مدل و STDD پیشنهاد شده توسط ارتوپدنسیست ها  $0.770$  بود. مرحله ایجاد مدل: در این مرحله برای یافتن مدلی پیش گویی کننده بین متوسط STDD و اندازه گیری های کمی انجام شده توسط مولف (OM) بر روی ۷ متغیر تشخیصی CBCT، رگرسیون خطی ساده انجام شد. موقعیت اپکس و موقعیت باکوپالاتال به دلیل آن که ارتباط معنی داری با متوسط STDD نداشتند از مطالعه حذف شدند. ۵ متغیر باقیمانده طبق معادله زیر ارتباط معنی داری با شاخص سختی درمان (Treatment Difficulty Index) داشتند (جدول ۴).

$$TDI = ۰.۱۷ - ۰.۰۲\text{زاویه} + ۰.۳۴\text{اولپ} + ۰.۵۴\text{موقعیت عمودی} + ۰.۶۷\text{چرخش} + ۰.۲۴\text{موقعیت اپکس}$$

همبستگی بین TDI و STDD  $0.774$  بود.

جدول ۴: مرحله ایجاد مدل برای یافتن فاکتورهای نهایی موثر در سختی درمان ارتوپدنسی کائین نهفته مأگزیلا

سطح معنی داری	Beta	انحراف استاندارد	B	Constant
.	۴/۸۲۶	۰/۷۵۵	۳/۶۴۳	
.	۵/۱۶	۰/۳۴۴	۰/۳۴۴	همپوشانی
.	۵/۰۶۷	۰/۱۶۶	۰/۱۶۶	فاصله عمودی
۰/۰۷۰	۰/۰۳۲	۰/۱۲۳	۰/۰۴۶	موقعیت اپکس
۰/۰۲۹	-۲/۲۵۵	۰/۰۰۸	-۰/۰۱۹	زاویه
.	۴/۰۴۶	۰/۱۶۶	۰/۶۷۲	Dilacerations
۰/۰۷۵	۰/۱۸	۰/۱۴۲	۰/۲۵۹	موقعیت باکوپالاتال
۰/۰۲۹	۲/۲۶۲	۰/۲۳۵	۰/۰۵۳۲	چرخش

بر اساس beta نشان داده شده در جدول فوق موثق‌ترین فاکتور تا کم اثر ترین آن در مدل به ترتیب عبارت بودند از: اولپ، موقعیت عمودی، Dilaceration، چرخش و زاویه

### بحث:

نتایج این مطالعه نشان داد که TDI میتواند روشی کمی برای طبقه بندی دندان کائین نهفته مأگزیلا بر پایه ۵ فاکتور Dilaceration، چرخش، اولپ، موقعیت عمودی و زاویه باشد، این فاکتورها مهمترین فاکتورهای

### نتایج:

یافته ها نشان داد که محدوده سنی ۳۶ بیمار مورد مطالعه ۱۲-۳۴ سال (متوسط سنی  $۱۹/۰۸ \pm ۵/۸$ ) و از نظر جنسی ۲۹ نفر زن و ۷ نفر مرد بودند. ۱۴ بیمار نهفتگی دو طرفه داشتند، ۹ بیمار کائین های نهفته یکطرفه در سمت راست و ۱۳ نفر کائین های نهفته یکطرفه در سمت چپ داشتند. در ۵۰ دندان کائین نهفته مورد مطالعه هیچ گونه جایه جایی وجود نداشت، در نتیجه این متغیر از مطالعه حذف شد.

ثبات درونی (Intra-class correlation) و ضریب پایایی (Inter-class correlation) برای متغیرهای مورد بررسی در جدول ۲ نشان داده شده است، تمام فاکتورهای تشخیصی پایایی بالایی داشتند به استثنای فاکتور چرخش که ضریب پایایی پایینی داشت.

جدول ۲: تست پایایی برای متغیرهای اندازه گیری شده بر روی ۲۰ بیمار توسط ۲ ارتوپدنسیست

ضریب پایایی	ثبات درونی	بررسی کننده ۱	بررسی کننده ۲	بررسی کننده ۳
۰/۸۹۵	۰/۷۸۱	۰/۹۴۶	۰/۹۴۶	همپوشانی
۰/۸۳۶	۰/۸۴۲	۰/۹۳۶	۰/۹۳۶	فاصله عمودی
۰/۸۵۸	۰/۷۱۵	۰/۹۷۲	۰/۹۷۲	موقعیت اپکس
۰/۹۰۵	۰/۸۹۵	۰/۹۶۲	۰/۹۶۲	زاویه
۰/۶۱۲	۰/۷۷۱	۰/۸۰۸	۰/۸۰۸	Dilacerations
۰/۶۳۷	۰/۷۴۷	۰/۸۸۵	۰/۸۸۵	تحلیل ریشه
۰/۸۸۳	۰/۸۹۶	۰/۸۳۵	۰/۸۳۵	موقعیت باکوپالاتال
۰/۲۰۸	۰/۶۱۲	۰/۶۲۷	۰/۶۲۷	چرخش

مرحله اکتشافی: از رگرسیون خطی با اثرات تصادفی و با ماتریس همبستگی تغییر پذیر برای یافتن همبستگی بین STDD و هر یک از نه VG استفاده شد. فاکتورهای سن و تحلیل ریشه ارتباط معنی داری با STDD نداشتند و از آنالیزهای بعدی حذف شدند (جدول ۳).

جدول ۳: مرحله اکتشافی برای یافتن فاکتورهای موثر در مدل

سن	چرخش	موقعیت باکوپالاتال	زاویه	فاصله عمودی	همپوشانی	B	انحراف استاندارد	سطح معنی داری
۰/۰۹۵	۰/۰۶۶	۰/۱۱	۰/۰۶۵	۰/۰۶۵	Constant	۰/۸۲۴	۰/۲۹۲	.
.	۰/۰۶۷	۰/۳۲	۰/۳۲	۰/۳۲	همپوشانی	.	۰/۰۶۷	.
.	۰/۰۷۶	۰/۵۹	۰/۵۹	۰/۵۹	فاصله عمودی	.	۰/۰۷۶	.
.	۰/۰۷۷	۰/۳۳	۰/۳۳	۰/۳۳	موقعیت اپکس	.	۰/۰۷۷	.
۰/۰۰۲	۰/۰۲۲	۰/۰۲۲	۰/۰۲۲	۰/۰۲۲	زاویه	۰/۰۰۲	۰/۰۷۹	.
.	۰/۰۵۲	۰/۵	۰/۵	۰/۵	Dilacerations	.	۰/۰۵۲	.
۰/۰۰۵	-۰/۱۳	-۰/۱۳	-۰/۱۳	-۰/۱۳	تحلیل ریشه	۰/۰۰۵	۰/۰۶۹	.
.	۰/۰۸	۰/۳	۰/۳	۰/۳	موقعیت باکوپالاتال	.	۰/۰۸	.
۰/۰۰۸	-۰/۲۱	-۰/۲۱	-۰/۲۱	-۰/۲۱	چرخش	۰/۰۰۸	۰/۰۷۶	.
۰/۰۹۵	۰/۱۱	۰/۱۱	۰/۱۱	۰/۱۱	سن	۰/۰۹۵	۰/۰۶۶	.

گروه مورد بررسی، دندانهایی با تحلیل ریشه شدید وجود داشت، این فاکتور تاثیر مهمی بر TDI می‌گذاشت. یکی از محدودیت‌های مطالعه حاضر این بود که برای تمامی ۱۰ فاکتور مقیاس و وزن یکسانی درنظر گرفته شد و تمامی فاکتورها با یکدیگر جمع جبری شدند، این کار بطور کلی فرض درستی محسوب نمی‌شود اما روند ارزیابی را عملی تر می‌کند. به علاوه ارائه فایل اصلی CBCT دندان‌های نهفته به بررسی کنندگان اقدام قابل قبول تری بود اما به دلیل عدم دسترسی همه آن‌ها به Dolphin 3D وقت گیر بودن ارزیابی ۵۰ دندان نهفته، ارزیابی با ۹ عکس انجام گردید و این کار تکمیل پرسشنامه بر اساس سایت را با استفاده از فایل‌های کم حجم ترا امکان پذیرتر کرد. همچنین ممکن است در انتخاب ارتودنتیست‌ها برای پاسخگویی نوعی تورش Selection bias) صورت گرفته باشد، گرچه همه آن‌ها از ارتودنتیست‌های مจบ داخل و یا خارج کشور بودند اما انتخاب آن‌ها به صورت اتفاقی نبوده و با نویسنده‌گان آشنايی داشتند.

ضریب پایایی این مطالعه نشان داد که متغیر چرخش را نمی‌توان بین دو بررسی کننده با پایایی قابل قبولی اندازه گیری کرد. (تصویر ۳ بعدی می‌تواند در میان بررسی کنندگان بر اساس تجربیات قبلی آن‌ها متفاوت باشد) بنابراین به تعریف دقیق تری نیاز است.

در این مطالعه سایر معیارهای تشخیصی مهم مانند کراودینگ، پروتوروژن، رابطه اسکلتی فکین، زیبایی، وضعیت پریودنتال و فانکشن اکلوزالی در نظر نگرفته نشد، برای داشتن یک ایندکس کامل باید از این معیارها در یک فرمت دقیق تر استفاده شود. بر اساس مطالعه صورت گرفته، TDI برای اندازه گیری سختی درمان پیشنهاد شد اما CBCT به تنها یک ابزار کاملی برای محاسبه سختی درمان نیست زیرا که باید سایر فاکتورهای تشخیصی مهم نیز وارد مطالعه گردد. گرچه این رویکرد پیچیدگی ایجاد TDI را کاهش می‌دهد لیکن مطالعات بیشتری باید برای ارزیابی ارزش کلینیکی آن انجام شود. بهترین کار آن است که از نتایج درمان بیمارانی که با روش و فلسفه یکسان درمان شده‌اند، استفاده کنیم. به نظر میرسد بررسی نتایج بهتر است علاوه بر آنالیز رادیوگرافیک، شامل زیبایی، وضعیت پریودنتال، فانکشن اکلوزالی دندان نهفته و پیگیری درمان نیز باشد(۲۱).

دخلی در درمان هستند و بر اساس اندازه گیری این ۵ فاکتور در CBCT می‌توان TDI را محاسبه نمود. گرچه هر ارتودنتیست برای درمان دندان کائین نهفته طبقه بندی ذهنی خاصی دارد اما این ایده باید سازمان دهی شود و یک طبقه بندی عملی برای تصمیم گیری راحت تر در مورد درمان آن ایجاد گردد. در این مطالعه ۱۰ ارتودنتیست مجرب شاخص سختی درمان را بر اساس یافته‌های حاصل از CBCT تعیین کرند برای ارزیابی دندان‌های کائین نهفته، تعداد بررسی کنندگان و تجربه کلینیکی آن‌ها بسیار حائز اهمیت است. بوتچلی در مطالعه خود از نظرات ۸ دندان‌پزشک در مقایسه تصویربرداری ۲ بعدی و ۳ بعدی برای تشخیص دندانهای کائین نهفته مانگزیلا استفاده کرد اما تنها ۳ نفر از آن‌ها بیشتر از ۵ سال سابقه کاری داشتند(۵) در مطالعه برکلین تنها یک بررسی کننده همه ۸۰ مدارک مربوط به بیماران را ارزیابی کرد(۱۸) در مطالعه ای دیگر از همین محقق، پرسشنامه ۳ بیمار به ۱۸۲ ارتودنتیست از جامعه سوئد با حداقل سابقه کاری یک سال به منظور بررسی تصویر CT فرستاده شد، در این مطالعه تنها میزان تحلیل ریشه بررسی شد و موقعیت ۳ بعدی کائین نهفته مورد ارزیابی قرار نگرفت(۱۷). در مطالعه حاضر از CBCT ۵۰ دندان کائین نهفته به منظور ارزیابی موقعیت ۳ بعدی و میزان تحلیل ریشه بر اساس نظریات ۱۰ ارتودنتیست با حداقل سابقه کاری ۱۰ سال استفاده شد.

مطالعات بسیاری فاکتورهای موثر بر سختی درمان را بررسی نموده اند که اکثراً بر اساس رادیوگرافی های ۲ بعدی بوده است(۱۵، ۱۶، ۸، ۹، ۲). Dilaceration و چرخش دو فاکتور مهم در مطالعه حاضر بودند که برای تعیین دقیق نیاز به نمای ۳ بعدی داشتند، ما برای ارزیابی ۳ بعدی دندان کائین از CBCT استفاده کردیم و تحقیقات نشان داده اند که اگر دندان کائین نهفته ای در رادیوگرافی پانورامیک دیده شد، بالاترین استاندارد آن است که پیش از هرگونه تصمیم گیری نهایی در مورد طرح درمان حتماً یک تصویربرداری سه بعدی از آن تهیه شود(۲۰). در مطالعات مختلف تحلیل ریشه و رابطه آن با دندان کائین نهفته مانگزیلا با استفاده از تصاویر ۳ بعدی مورد بررسی قرار گرفته است(۱۷-۱۹) از آنجا که در مطالعه حاضر تمام تحلیل‌ها کمتر از ۲ میلی متر بود، اثر کمی بر TDI داشت و در نتیجه از مدل حذف گردید. شاید اگر در

- eruption of impacted maxillary canines: a retrospective study. Am J Orthod Dentofacial Orthop 2006;130(3):349-56.
9. Pitt S, Hamdan A, Rock P. A treatment difficulty index for unerupted maxillary canines. Eur J Orthod 2006;28(2):141-4.
  10. McSherry PF. The assessment of and treatment options for the buried maxillary canine. Dent Update 1996;23(1):7-10.
  11. Alquerban A, Jacobs R, Fieuws S, Nackaerts O, Willems G. Comparison of 6cone-beam computed tomography systems for image quality and detection of simulated canine impaction-induced external root resorption in maxillary lateral incisors. Am J Orthod Dentofacial Orthop 2011;140(3):e129-39.
  12. Andreasen FM, Sewerin I, Mandel U, Andreasen JO. Radiographic assessment of simulated root resorption cavities. Endod Dent Traumatol 1987;3(1):21-7.
  13. Westphalen VP, Moraes IG ,Westphalen FH. Efficacy of conventional and digital radiographic imaging methods for diagnosis of simulated external root resorption. J Appl Oral Sci 2004; 12(2):108-12.
  14. Alquerban A, Jacobs R, Souza PC, Willems G. In-vitro comparison of 2 cone-beam computed tomography systems and panoramic imaging for detecting simulated canine impaction-induced external root resorption in maxillary lateral incisors. Am J Orthod Dentofacial Orthop 2009;136(6):764 e1-11.
  15. Becker A, Chaushu S. Success rate and duration of orthodontic treatment for adult patients with palatally impacted maxillary canines. Am J Orthod Dentofacial Orthop 2003;124(5):509-14.
  16. Becker A, Chaushu G, Chaushu S. Analysis of failure in the treatment of impacted maxillary canines. Am J Orthod Dentofacial Orthop 2010;137(6):743-54.
  17. Bjerklin K, Bondemark L. Management of ectopic maxillary canines: variations among orthodontists. Angle Orthod 2008;78(5):852-9.
  18. Bjerklin K, Ericson S. How a computerized tomography examination changed the treatment plans of 80 children with retained and ectopically positioned maxillary canines. Angle Orthod 2006;76(1):43-51.
  19. Ericson S, Kurrol PJ. Resorption of incisors after ectopic eruption of maxillary canines: a CT study. Angle Orthod 2000;70(6):415-23.
  20. Gruber L, Vanarsdall R, Vig K. Orthodontics current principles and technique. 5th ed. Philadelphia: Mosby, 2012: 26.
  21. D'Amico RM, Bjerklin K, Kurrol J, Falahat B. Long-term results of orthodontic treatment of impacted maxillary canines. Angle Orthod 2003; 73(3):231-8.

در این مطالعه یک سوال مهم در رابطه با کشیدن دندان کائین نهفته پرسیده نشد که باید به منظور ارزیابی مرز کشیدن یا نکشیدن کائین نهفته این سوال به پرسشنامه اضافه شود. به این طریق می توان محدوده ای را برای طبقه بنده دندان های کائین نهفته پیشنهاد داد که این کار نیاز به اطلاعات بیشتری برای برآورد دقیق سختی درمان دارد.

#### نتیجه نهایی:

سختی درمان کائین نهفته مانگریلا می تواند به صورت کمی با اندازه گیری Dilacerations ، چرخش، اورلپ، موقعیت عمودی و زاویه از روی تصاویر CBCT اندازه گیری شود اما برای اندازه گیری دقیق تر مطالعات بیشتری مورد نیاز است.

#### منابع :

1. Alquerban A, Jacobs R, Fieuws S, Willems G. Comparison of two cone beam computed tomographic systems versus panoramic imaging for localization of impacted maxillary canines and detection of root resorption. Eur J Orthod 2011;33(1):93-102.
2. Fleming PS, Scott P, Heidari N, Dibiase AT. Influence of radiographic position of ectopic canines on the duration of orthodontic treatment. Angle Orthod 2009;79(3):442-6.
3. Haney E, Gansky SA, Lee JS, Johnson E, Maki K, Miller AJ ,et al. Comparative analysis of traditional radiographs and cone-beam computed tomography volumetric images in the diagnosis and treatment planning of maxillary impacted canines. Am J Orthod Dentofacial Orthop 2010; 137(5):590-7.
4. Stewart JA, Heo G, Glover KE, Williamson PC, Lam EW, Major PW. Factors that relate to treatment duration for patients with palatally impacted maxillary canines. Am J Orthod Dentofacial Orthop 2001;119(3):216-25.
5. Botticelli S, Verna C, Cattaneo PM, Heidmann J, Melsen B. Two- versus three-dimensional imaging in subjects with unerupted maxillary canines. Eur J Orthod 2011;33(4):344-9.
6. Kau CH, Pan P, Gallerano RL, English JD. A novel 3D classification system for canine impactions--the KPG index. Int J Med Robot 2009;5(3):291-6.
7. Walker L, Enciso R, Mah J. Three-dimensional localization of maxillary canines with cone-beam computed tomography. Am J Orthod Dentofacial Orthop 2005;128(4):418-23.
8. Zuccati G, Ghobadlu J, Nieri M, Clauser C. Factors associated with the duration of forced